

ФУЛЛЕРЕНЫ, НАНОТРУБКИ И ОДНОМЕРНЫЕ НАНООБЪЕКТЫ

УДК 539.25:620.187

Ю.М. Солонін, К.О. Грайворонська

Інститут проблем матеріалознавства ім. І.М. Францевича НАН України
м. Київ, вул. Кржижановського, 3, Україна, 03680

ОДНОВИМІРНЕ РОЗУПОРЯДКУВАННЯ В ТОНКИХ ПЛІВКАХ ФУЛЕРИТУ C_{60}

Ключові слова: фулерит C_{60} , тонкі плівки, електронна мікроскопія високої роздільної здатності, одновимірне розупорядкування, дефекти пакування

На підставі даних прямого спостереження методом електронної мікроскопії високої роздільної здатності одновимірно розупорядкованих структур у плівках фулериту показано ймовірність певної кореляції в розміщенні дефектів пакування аж до утворення політипів, включаючи цілковиту перебудову ГЦК \rightarrow ГШУ, а також підтверджено можливість використання методів теорії інформації для кількісної оцінки ступеня розупорядкованості в розміщенні площин типу {111} в ГЦК-структурі фулериту. Зіставлення цих результатів із результатами аналізу власних і літературних даних щодо дифракції рентгенівських та електронних променів на кристалах із дефектами пакування підтверджує правильність наявних моделей, що лежать в основі інтерпретації їх.

Вступ

Відомо, що тонкі плівки фулериту C_{60} характеризуються щільно-впакованою гранецентрованою кубічною структурою (ГЦК-структурою) з параметром 1,416 нм. Попередні дослідження [1] показали, що на більшості електронно-мікроскопічних зображень плівок, отриманих у режимі середньої роздільної здатності, спостерігається характерний смугастий контраст, який свідчить про наявність у структурі великої кількості двовимірних дефектів. Детальний аналіз картини електронної мікродифракції свідчить про те, що такий контраст пов'язано з дефектами на зразок дефектів пакування, двійникових границь або частково розупорядкованих політипних фаз. Зазвичай кристалографія таких структур описується певною послідовністю гексагональних сіток, побудованих із атомів або, як у нашому випадку, з молекул.

Розглянуті в літературі підходи до інтерпретації рентгенівської дифракційної картини від кристалів, що містять дефекти пакування або є

одновимірно розупорядкованими, базуються на певних, інколи суб'ективних припущеннях [2–7].

Тому актуальним є завдання дослідити закономірності структуроутворення у тонких плівках фулериту із застосуванням прямих методів локального дослідження структури, таких як електронна мікроскопія високої роздільної здатності, й сучасних математичних методів інтерпретації отриманих результатів.

Для проведення досліджень плівки отримували вакуумним термічним випаровуванням та осадженням на установці ВУП-5. Вихідна речовина – порошок фулериту C_{60} із чистотою 99%, вільний від забруднення розчинником. Температура випаровування була в межах 773–873 К, температура підкладки становила 393 К або 523 К. Дослідження структури тонких плівок здійснювали за допомогою трансмісійного електронного мікроскопа М-200 за прискорювальної напруги 100 кВ.

Аналіз одновимірного розупорядкування в тонких плівках фулериту C_{60}

На рис. 1 у збільшенному вигляді наведено політипну структуру з упорядкованим розташуванням дефектів пакування на площині типу (111).

Для позначення послідовності шарів використано літери ABCABC..., кожна з яких відповідає одному з трьох можливих положень площини (111) в щільноукладений структурі. У верхній частині зображення реалізується послідовність ABCABCABC..., що відповідає гранецентрованій кубічній структурі (ГЦК). Для нижньої частини характерно є послідовність CABACABC..., що відповідає десятишаровій політипній структурі. На рис. 2 наведено схему розглянутого зображення. Чорними кружечками позначено молекули фулерену в площині (111), які оточено сусідніми площинами (111) різного розташування по горизонталі (площини типу "c"), світлими – ті, що мають одинакових сусідів знизу та зверху (площини типу "h").

Таке позначення дуже зручне, тому що область ГЦК-структурі при цьому видається всуціль чорною, гексагональна щільновпакова-

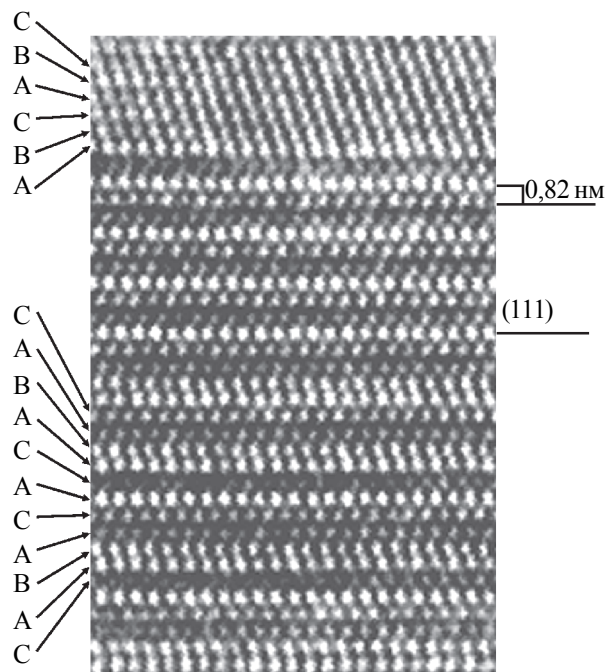


Рис. 1. Пряме зображення структури фулериту з політипом

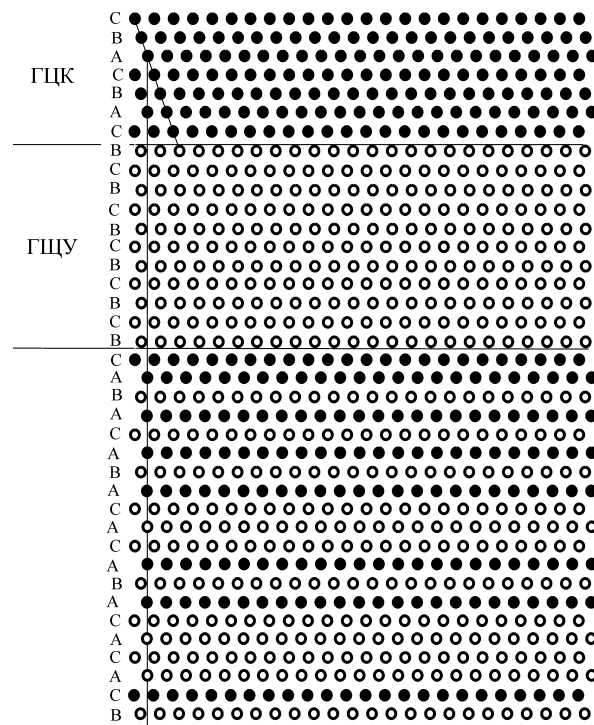


Рис. 2. Схема до структури, наведеної на рис. 1

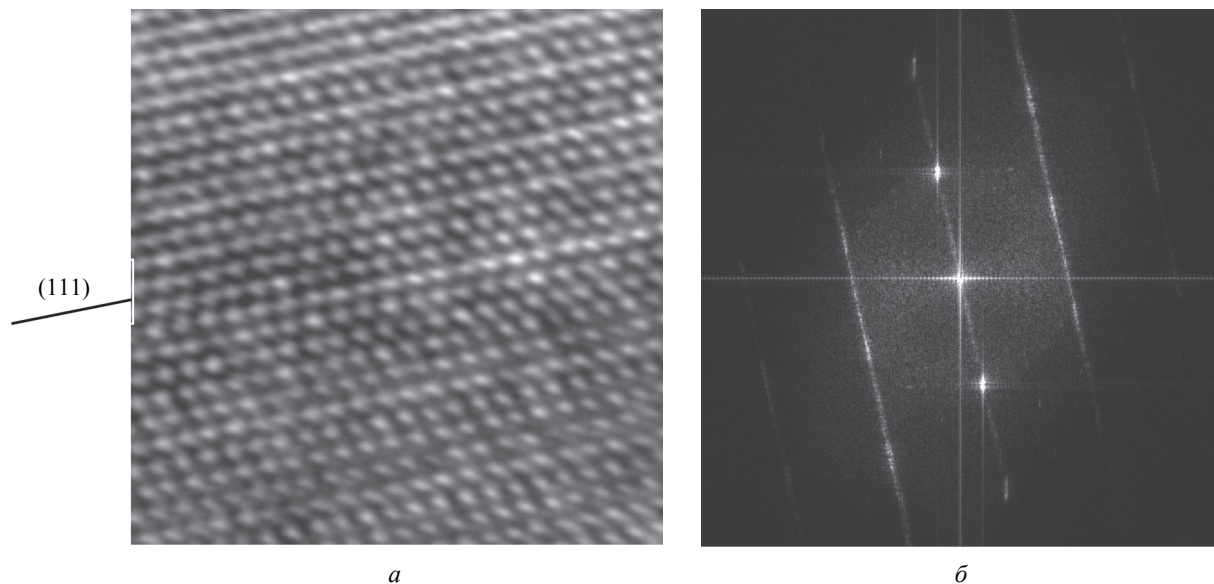


Рис. 3. Пряме зображення одновимірно розупорядкованої структури тонкої плівки фулериту (а) та відповідна картина фур'є-перетворення (б)

на (ГЦУ) – всуціль світлою, а чергування світлих і темних шарів відповідатиме політипній структурі або розупорядкованому розташуванню по одиночних дефектів пакування. Ми бачимо, що між областями ГЦК-структурі та політипної структури розміщено область ГЦУ-структурі.

Співіснування різних щільноукладених структур властиве кристалам фулериту. Воно пояснюється слабкими вандерваальсовими зв'язками між молекулами фулериту в твердій фазі. Відомо також, що за кімнатної та вищих температурах сферичні молекули фулерену, зберігаючи положення в певних вузлах кристалічної комірки, при цьому довільно обертаються навколо свого центру. Такі молекулярні кристали повинні мати дуже низьку енергію дефектів пакування та двійникових границь. Можна очікувати, що такі кристали будуть легко утворювати двійники, матимут значну кількість дефектів пакування, двійникових границь та інших площинних дефектів. Дуже висока ймовірність утворення в таких кристалах різноманітних політипних структур. Саме такі структурні стани ми й спостерігаємо на зображеннях, отриманих за допомогою електронної мікроскопії високого розділення.

Аналіз тонкої структури мікроелектронограм від розупорядкованих плівок фулериту С₆₀

Досліджуючи окремі ділянки структури, ми спостерігали частково розупорядковану структуру, на якій все ж таки можна виділити області ГЦК-, ГЦУ-структур, політипу, в багатьох інших випадках можна бачити одновимірно розупорядковані структури, на яких узагалі відсутні ознаки будь-яких, принаймні локалізованих, областей упорядкування. Приклад такої структури наведено на рис. 3 разом із картиною фур'є-перетворення цього зображення.

Спостерігається невпорядковане укладення площин типу {111}_{ГЦК}, що підтверджується також картиною фур'є-перетворення зображення (рис. 3б). Okрім максимумів (рефлексів), які в оберненій решітці відповідають площинам {111}_{ГЦК} їх розташовані в рядах із $L_0 = 3N$, спостерігаються дифузні тяжі, витягнуті в напрямку, перпендикулярному до зазначених площин. Ці тяжі утворилися за рахунок сильного розмиття та зсуву основних рефлексів, а також можливого утворення додаткових рефлексів уздовж рядів типу $L_0 = 3N \pm 1$ в оберненій решітці ГЦК-

структурі. Саме такий характер електронної чи рентгенівської дифракційної картини має свідчити про сильну одновимірну розупорядкованість щільновпакованої структури за рахунок утворення в ній значної кількості дефектів пакування. Фур'є-перетворення прямого зображення структури в цьому разі замінює електронну мікродифракцію й фактично є її цілковитим аналогом.

Щоб зафіксувати різницю між прямим зображенням правильної ГЦК-структурі й розглянутим вище невпорядкованим станом, наведено електронну мікрофотографію високого розділення з ділянки тонкої плівки фуллериту з ідеальною ГЦК-структурою, на якій відсутні навіть одиничні дефекти пакування (рис. 4a). Картину фур'є-перетворення (рис. 4б) подібна до електронної мікродифракції від ідеального ГЦК-кристала з віссю зони [110].

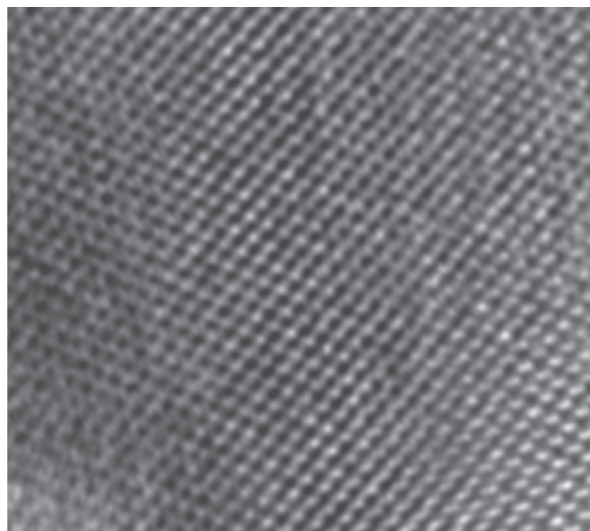
Для чіткішого уявлення про характер невпорядкованості та встановлення порядку чергування площин типу {111} на ділянці структури, зображеній на рис. 3a, виконано графічну реконструкцію цього рисунка (рис. 5). Стрілками позначені окремі шари {111}, водночас їм приписано одну з літер А, В, С залежно від відносного зсуву їх, як це зазвичай робиться при аналізі

ступеня розупорядкованості щільновпакованих структур.

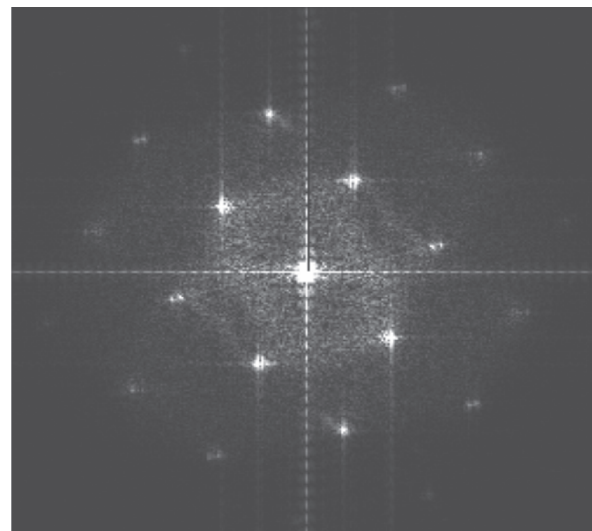
Спостерігається така послідовність площин {111}:

$$\begin{aligned} A > C > B > B > A > C > A > C > B > C > A > B > A \\ &> C > A > C > A > C > A > B > A \end{aligned}$$

У роботі [8] запропоновано для опису структури використовувати процедуру “run length encoding” (RLE). За допомогою цієї процедури будь-яку щільновпаковану структуру можна описати як двійковий рядок. Кожна „1” означає, що вектор зсуву між двома послідовними шарами дорівнює r_{ab} , а „0” – що вектор зсуву для двох послідовних шарів дорівнює $-r_{ab}$. Будь-які два символи у послідовності ABCA буде позначено одиницею, а в послідовності ACBA – нулем. Наприклад, послідовність ABCABACBCACBA у цій системі буде записано як 111100011000. Далі процедура полягає в найкомпактнішому поданні таких рядів. Для цього послідовності нулів та одиниць замінюють на числа, що позначають кількість послідовних одинакових цифр (нулів або одиниць) у вихідній послідовності. Наприклад, зробимо це для такого періодичного ряду:



a



б

Рис. 4. Пряме зображення ділянки тонкої плівки фуллериту з правильною ГЦК-структурою (a) та відповідної картини фур'є-перетворення (б)

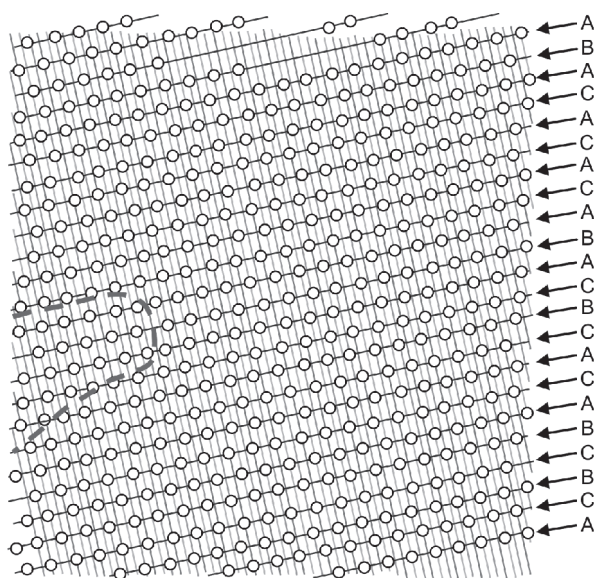


Рис. 5. Графічна реконструкція зображення, наведеного на рис. 3а

$110100110100110100110100110100110100110100110100110100$. Результатом є набір символів $(2112)_n$, або RLE-код, який утворює алгоритм побудови по-передньої послідовності – вона містить блок із двох „1”, одного „0”, однієї „1” та двох „0”. Цей блок повторюється дев’ять разів. При збільшенні кількості символів у періодичному ряді одиниць і нулів RLE-код не змінюватиметься, а відношення кількості символів у ньому до кількості символів у первинній послідовності наблизатиметься до нуля.

З іншого боку, для розупорядкованої структури з відмінною від нуля ймовірністю дефектів пакування RLE-код буде більшим, аніж для правильної послідовності. Якщо ми розглянемо ту саму послідовність “1” та “0” $1100110110101100001001001101011110011110010$, але з імовірністю утворення дефектів 0,2, то для RLE-коду отримаємо: $(22)(21)_2(11)(34)(12)[(12)(21)]_2(11)(52)(42)(11)$. У цьому разі RLE-код уже складається з 22 символів. Кількість їх збільшується при зростанні кількості символів у первинній послідовності, а відношення цих чисел урешті-решт наближається до певної величини, яка й слугуватиме порівняльною оцінкою ступеня розупорядкованості послідовності шарів.

Згідно з розглянутою вище процедурою визначення RLE-коду наведемо цю послідовність спочатку у вигляді ряду одиниць і нулів. Отримуємо такий ряд: 101000100111001010110 . Тепер подамо цей ряд у найбільш компактній формі, тобто у вигляді алгоритмічного RLE-коду: $11131232(11)_21$.

Відношення кількості символів у RLE-коді до кількості символів у ряді одиниць та нулів і буде мірою розупорядкованості або “непередбачуваності” досліджуваної послідовності площин $\{111\}$. У такому разі це відношення дорівнює $12/21 = 0,571$. Чим більший розупорядковано є послідовність. Щікаво порівняти отриману характеристику з аналогічною величиною для

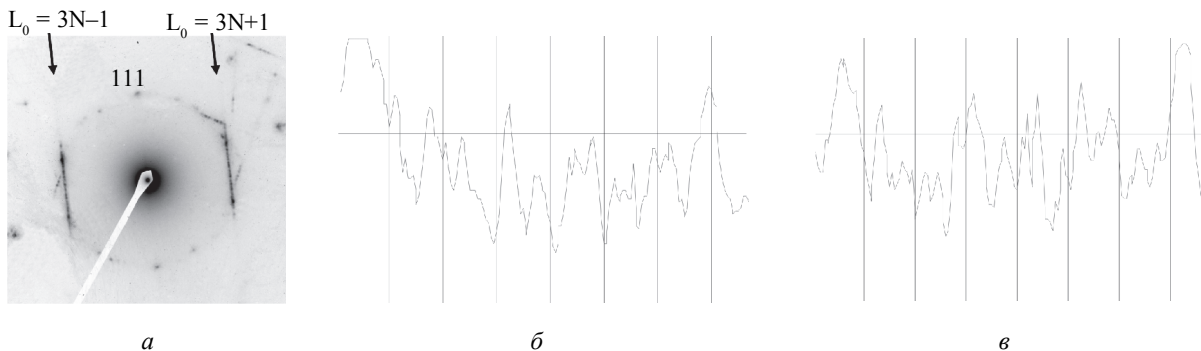


Рис. 6. Електронограма від ділянки плівки фуллериту, що дає смугастий контраст (а), розподіл інтенсивності вздовж лівого (б) та правого (в) рядів із $L_0 = 3N \pm 1$

послідовності площин $\{111\}$ на рис. 2: BCACASACASACASABCBCBCBCSABC,

11010110010110011000101010101111111,
21(1122)₂23(11)₅7.

Для цієї послідовності відношення кількості символів у RLE-коді до кількості символів у ряді одиниць і нулів дорівнює $11/37 = 0,297$. Отже, остання послідовність є більш упорядкованою або “передбачуваною”, тому що її можна закодувати з використанням меншої кількості символів. Таким чином, ми отримали певну порівняльну кількісну характеристику ступеня впорядкованості структури, що складається з послідовності щільновпакованих шарів. Структура, наведена на рис. 2, справді є більш упорядкованою, оскільки складається, як ми вже зауважили вище, з окремих блоків із правильними ГЦК-, ГЦУ-структурами та області з десятишаровим політіпом. Натомість для структури, наведеної на рис. 3а, характерна велика концентрація майже випадково розміщених дефектів пакування.

Перш ніж завершити аналіз розупорядкованих структур у плівках фуллериту, розглянемо детальніше мікроелектронограми, одержані у трансмісійному електронному мікроскопі без застосування режиму високої роздільної здатності. Зрозуміло, що ці електронограми було отримано від значно більших областей плівки, площа яких становить кілька квадратних мікрометрів. Тобто в такому разі у формуванні дифракційної картини бере участь значно більша кількість молекул фуллерену, розміщених у вузлах кристалічної решітки, аніж при отриманні зображення високої роздільної здатності. За таких умов важко отримати електронограми високої чіткості саме тому, що у формуванні дифракційної картини бере участь недостатня кількість молекул C_{60} .

На рис. 6 та 7 наведено фрагменти найхарактерніших електронограм, одержаних від ділянок тонких плівок фуллериту, на електронних мікрофотографіях яких спостерігається характерний смугастий контраст, що є проявом певної одновимірної розупорядкованості кристала. Зазначені електронограми належать до зони $[110]_{ГЦК}$. Для них характерна присутність чітких рефлексів, розміщених уздовж рядів типу $L_0 = 3N$ оберненої решітки,

перпендикулярних площинам $\{111\}$, а також паралельних до них майже неперервних тяжів, орієнтованих уздовж рядів із $L_0 = 3N \pm 1$. Водночас детальніше вивчення свідчить, що тяжі не є цілковито неперервними, вони швидше складаються з великої кількості окремих рефлексів. Це підтверджує аналіз зміни інтенсивності уздовж цих тяжів (рис. 6б, 7б). Видно, що, крім основних найінтенсивніших рефлексів, які належать до базисної ГЦК-структурі, спостерігається значна кількість проміжних максимумів інтенсивності, розміщених між основними рефлексами.

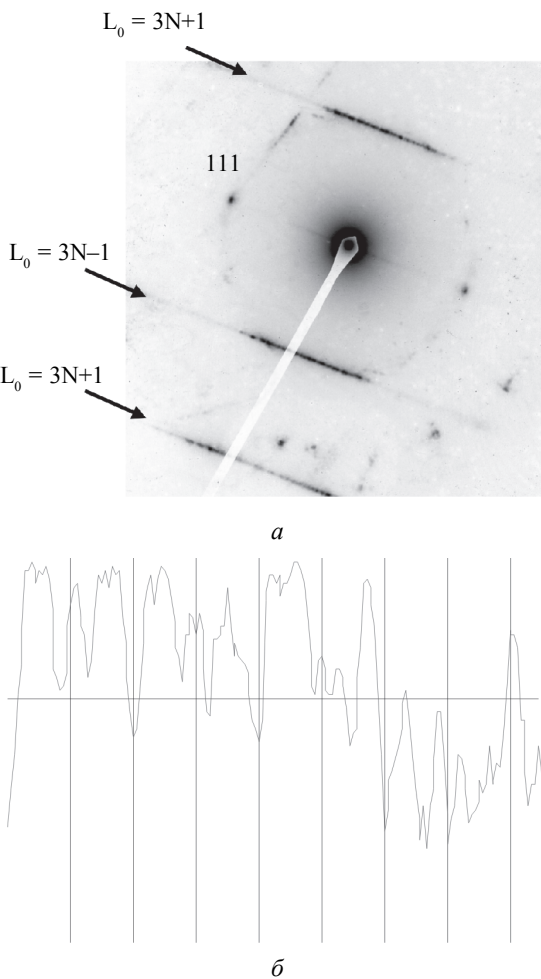


Рис. 7. Електронограма від ділянки плівки фуллериту, що дає смугастий контраст (а), розподіл інтенсивності вздовж верхнього ряду з $L_0 = 3N \pm 1$ (б)

Згідно з одним із розглянутих вище підходів до аналізу розсіяння рентгенівських променів у частково розупорядкованих кристалах із щільновпакованою структурою [3, 6, 7], присутність у кристалі значної кількості дефектів пакування за умови певної кореляції в розташуванні їх може привести до появи на періоді ідентичності оберненої решітки додаткових максимумів інтенсивності. Зрозуміло, що таке явище має спостерігатися й при дифракції електронів на аналогічних розупорядкованих структурах. Саме це ми спостерігаємо на рис. 6а та 7а.

Таким чином, розглянуті вище дані аналізу прямих зображень структури тонких плівок фуллериту, які дають змогу безпосередньо фіксувати послідовність укладення площин {111}, а також аналіз звичайних електронограм від зазначених об'єктів свідчать про існування у плівках фуллериту областей із різним ступенем розупорядкованості. При цьому за великої концентрації дефектів пакування може спостерігатися певна кореляція в розташуванні їх, що на окремих ділянках плівки призводить до утворення політіпів зі збільшеним періодом решітки й навіть правильної ГЦУ-структурі.

Висновки

Дані електронної мікроскопії високої роздільноті здатності підтверджують результати рентгенівського аналізу щодо одновимірної розупорядкованості або наявності значної кількості дефектів пакування в тонких плівках фуллериту C_{60} . Згідно з цими даними дефекти пакування можуть розміщуватися розупорядковано, вони можуть упорядковуватися з утворенням політіпів або, за екстремальної концентрації, навіть спричиняти цілковиту перебудову ГЦК → ГЦУ. Аналіз розподілу інтенсивності на електронограмах від плівок фуллериту вздовж рядів оберненої решітки із $L_0 = 3N \pm 1$ також свідчить про існування певної кореляції в розташуванні дефектів пакування в ГЦК-структурі плівок фуллериту.

Показано можливість використання методів теорії інформації для кількісної оцінки ступеня одновимірної розупорядкованості щільновпакованих кристалів із високою концентрацією дефектів пакування.

На основі даних прямого наблюдения методом електронної мікроскопії високої розширяючої спосібності одномерно разупорядочених структур в пленках фуллерита продемонстрована можливість определеної кореляції в розташуванні дефектів упаковки вплоть до формування політіпів, включаючи повну перестройку ГЦК → ГЦУ, а також підтверджена можливість використання методів теорії інформації для кількісної оцінки ступеня разупорядоченості в розташуванні площин типу {111} в ГЦК-структурі фуллериту. Сопоставлення цих результатів з результатами аналізу власних та літературних даних, отриманих дифракцією рентгеновських та електронних променів на кристалах з дефектами упаковки, підтверджує правильність існування відповідних моделей, лежащих в основі їх інтерпретації.

Ключевые слова: фуллерит C_{60} , тонкие пленки, электронная микроскопия высокого разрешения, одномерное разупорядочение, дефекты упаковки

On the base of direct HREM investigation of disordered structures in fullerite thin films the possibility of certain correlation in arrangement of stacking faults up to formation of polytypes and possible complete f.c.c. → h.c.p. transformation was demonstrated. The possibility of implementation of information theory methods for quantitative evaluation of disorder degree in arrangement of {111} type planes in f.c.c. structure of fullerite is approved. The comparison of these results with the published data about X-ray and electron beam diffraction on crystals containing stacking faults approves the existing models used for their interpretation.

Key words: fullerite C_{60} , thin films, high resolution electron microscopy, stacking faults

1. Solonin Yu.M., Grayvoronskaya E.A. Structural Investigation on Thin Films and Extremely Grinded Powders of Fullerene C_{60} // Metallofizika i Noveishie Tekhnologii. – 2003. – V. 25, N 1. – P. 53–65.
2. Ландau Л.Д. Рассеяние рентгеновских лучей кристаллами с переменной структурой // ЖЭТФ. – 1937. – Т. 7, № 11. – С. 1227–1231.
3. Олиховская Л.А. Диффузное рассеяние рентгеновских лучей в 2Н- и 3С-кристаллах с упорядоченными дефектами упаковки: Дис. ... канд. физ.-мат. наук: 01.04.07. – К., 1990. – 147 с.
4. Вильсон А. Оптика рентгеновских лучей. – М.: ИЛ, 1951. – 142 с.
5. Уоррэн Б.И. Рентгенографическое изучение деформированных металлов // Успехи физики металлов. – Вып. 5. – М.: Металлургия, 1963.– С. 172–237.
6. Устинов А.И., Олиховская Л.А. Дифракция рентгеновских лучей в 2Н- и 3С-кристаллах, содержащих скрепленные расположенные дефекты упаковки. – К., 1988. – 32 с. (Препр. / АН УССР, ИМФ, 25.88).
7. Пиликевич Е.А., Устинов А.И., Чустов К.В. Теоретическое исследование дифракционных эффектов, вызванных дефектами упаковки в плотноупакованных структурах. – К., 1981. – 25 с. (Препр. / АН УССР, ИМФ, 1.81).